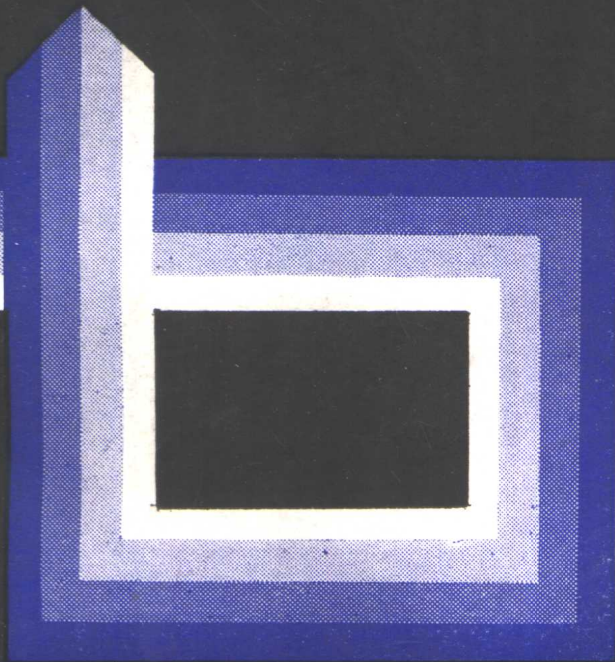


# 巷道底臌的防治

〔联邦德国〕 M. 奥顿哥特 著

王茂松 译 钱鸣高 校



27  
E

煤 炭 工 业 出 版 社

# 巷道底臌的防治

〔联邦德国〕M. 奥顿哥特 著

王茂松 译 钱鸣高 校

煤炭工业出版社

## 内 容 简 介

本书对巷道底臌产生的原因进行了理论上的分析,指出了产生不同形式底臌的地质和开采条件。它较系统地总结了常用的底臌防治措施的经验,并利用相似模型研究方法探讨了底板锚杆、混凝土反拱、底板碎石垫层等防治措施的工作原理和使用条件。

本书可供从事矿山巷道掘进与维护工作的工程技术人员、科研人员和矿业院校师生参考。

责任编辑: 金 连 生

Michael Oldengott  
**MASSNAHMEN ZUR VERRINGERUNG  
DER SOHLENHEBUNG**  
VERLAG GLÜCKAUF GMBH · ESSEN

1981

### 巷 道 底 鼓 的 防 治

〔联邦德国〕M. 奥顿哥特 著  
王茂松 译 钱鸣高 校

\*  
煤炭工业出版社 出版

(北京安定门外和平北路16号)

煤炭工业出版社印刷厂 印刷

新华书店北京发行所 发行

\*

开本787×1092<sup>1/16</sup> 印张3<sup>7/8</sup>

字数81千字 印数1—4,100

1985年3月第1版 1985年3月第1次印刷

书号15035·2697 定价0.80元

## 译者的话

长期以来，防治巷道底臌一直是矿井巷道维护的重大问题之一。在有些矿井中，由于巷道底臌问题得不到解决，严重地影响了矿井的正常生产。修复和维护底臌巷道不仅耗费大量人力和材料，而且也往往难于彻底解决问题。近年来，随着综合机械化采煤的发展，采区巷道断面增大，而目前的巷道支护形式还不适应于底臌的防治，因而采区巷道的底臌问题日益突出起来；另外在推广无煤柱护巷的新技术过程中，也经常遇到了底臌问题。可以设想，随着开采深度的增大，巷道底臌的防治问题，将会日益感到迫切。

联邦德国埃森采矿研究中心矿山压力与支护研究所，对巷道底臌的防治问题，进行了大量研究工作。他们从巷道围岩破坏的机理出发，对各种可能减少巷道底臌的措施进行了比较和分析，提出了各种防治措施的适用范围。作者奥顿哥特在埃森采矿研究中心完成了大量实验室研究工作，并进行了大量的现场工作。在此基础上，完成了“巷道底臌的防治”为题的博士论文，随后又出版了本书。我们认为，本书对于我国目前正在行这方面科研工作的同志，以及现场及教学等单位的同志都具有参考价值。由于译者的水平所限，书中难免出现翻译上的错误，敬请读者批评指正。

1984年5月

ABA/4/09 02

## 前　　言

---

底臌、顶板下沉与侧帮位移是明显的矿山压力现象。在巷道顶、底板移近量中，大约有三分之二是由于底臌引起的。因此，在巷道断面全部缩小量中，底臌占绝大部分。如果在回采巷道维护工作量中，起底工作量按百分之五十估计，则每米巷道的起底工作量要占一个工-班。它相当于回采巷道掘进劳动力消耗的六分之一。

由于底臌缩小了巷道断面，致使行人、运输都受到妨碍，而且也使通风发生了困难。这就表现出底臌问题的特殊性。由于底臌在技术及经济上的重要意义，导致人们去研究底臌的原因、现象的形成以及减少底臌的处理方法。

本书对减少底臌的间接性措施未加叙述。这些间接性措施诸如：巷道在减压区内掘进，使巷道远离影响区，巷道支架的壁后充填，以及选择合适的巷侧护巷办法以避免底板的挤鼓作用等。

# 目 录

---

|                              |    |
|------------------------------|----|
| <b>1. 巷道底臌</b>               | 1  |
| 1.1 底臌的原因                    | 1  |
| 1.2 底臌的破坏深度及破坏型式             | 6  |
| 1.3 结合强度和最小支护阻力              | 9  |
| 1.4 底臌、起底量和起底费用的预计           | 13 |
| <b>2. 底板锚杆</b>               | 19 |
| 2.1 井下试验                     | 19 |
| 2.2 模型研究                     | 35 |
| 2.3 建议                       | 41 |
| 2.4 使用范围和成本                  | 54 |
| <b>3. 底板注浆</b>               | 57 |
| 3.1 底板注浆的工作原理                | 58 |
| 3.2 使用范围                     | 59 |
| 3.3 注浆工程的实施                  | 61 |
| <b>4. 底板锚固和注浆结合使用</b>        | 63 |
| <b>5. 加装和不加装可伸缩支撑件的混凝土反拱</b> | 64 |
| 5.1 模型研究的描述                  | 64 |
| 5.2 模型试验的结果                  | 66 |
| 5.3 使用范围和成本                  | 69 |
| <b>6. 加固的底板碎石垫层</b>          | 71 |
| 6.1 模型研究的描述                  | 72 |
| 6.2 模型试验的结果                  | 72 |
| 6.3 对碎石垫层断面形状的建议             | 79 |
| 6.4 使用范围                     | 80 |
| <b>7. 采用底梁和撑木加固底板</b>        | 82 |
| 7.1 附加支架的支设位置                | 82 |
| 7.2 巷道支架与附加支架的相互作用           | 85 |

|                                  |     |
|----------------------------------|-----|
| <b>8. 底板切缝</b>                   | 88  |
| 8.1 底板切缝的工作原理                    | 89  |
| 8.2 使用情况和成果展望                    | 90  |
| 8.3 使用范围及成本                      | 94  |
| <b>9. 底板穿孔</b>                   | 96  |
| <b>10. 卸载爆破</b>                  | 98  |
| <b>11. 用锚杆和切缝对底板进行加固与卸载的综合措施</b> | 100 |
| 11.1 模型试验描述                      | 100 |
| 11.2 模型试验结果                      | 103 |
| <b>12. 各种措施的综述与比较</b>            | 112 |
| <b>附录</b>                        | 114 |

# 1. 巷道底臌

---

## 1.1 底臌的原因

引起底臌的原因为：

- (1) 岩层含水；
- (2) 弹性应变变形；
- (3) 破坏变形。

### 岩 层 含 水

在采矿中常常使用“巷道底板涌出”或“底板岩层涌出”（沿煤层开掘的巷道）的概念，即一般所讲的底板鼓起。按照L.缪勒-萨尔兹堡的定义，底臌仅仅是指由于水而引起的底板鼓出，特别是含有白云母-伊利石的粘土，当其含水时体积增大。而其它的含矿岩层，如硬石膏，是通过化学反应使其体积增加的。这时人们称之为底板膨胀。

G.勋-瓦尔纳菲尔德曾对鲁尔区煤系岩层进行研究，结果是围岩的膨胀能力一般在0~5%之间。其中厚层砂岩及厚层的炭质页岩约在0~1%，砂质的和含砂质较少的页岩0.5~3%，含石英极少的页岩为2~6%；另一试验结果表明，随着深度的增加（强度也增加），围岩的膨胀性却减少。

在鲁尔区煤系岩层中，巷道底板岩层的膨胀仅仅导致很小的巷道底臌。但随着岩层的含水，却对岩层产生下列影响：

- (1) 减少了岩石裂隙间的摩擦，导致了强度的减弱；
- (2) 减少了层面间的摩擦（形成了滑移层面），致使将致密岩层分为薄层；

(3) 使岩石结构松散 (对于易受水损害的页岩层强度可损失100%)。

当水在底板岩层间流动时，这种岩性的改变更为突出。当底板有适当的水而底板岩体没有遭到破坏时，则影响较小。因为 J. 柏林通过对泥岩试样研究证明：没有破碎的岩层在垂直层理方向的透水性实际上等于零。

在 H. 克纳兹的著作中，指出了所列举的详尽及完整的研究方法。利用它可以确定煤层围岩受到水的影响后，其透水性、膨胀性、强度的改变以及破坏情况。

### **弹性应变变形**

众所周知，未经开采的地下岩层是处在各个方向的压缩状态下。垂直应力  $P_v$  的大小是由上覆岩层的重量计算而得 ( $P_v = \gamma \cdot h$ ;  $h$  = 深度,  $\gamma$  = 岩石容重)。关于侧向压力的大小，各种文献则叙述不一。一部分作者认为，侧向压力可根据 P. 金的公式  $P_H = P_v / (m - 1)$  计算 ( $m$  = 岩石的泊松系数)。但根据 G. 爱维林的意见，在未采动时可能是静水应力状态 ( $P_v = P_H$ )。

由于掘进了巷道，使岩体的原始应力状态受到了干扰，在巷道空间的周边形成了新的（附加的）垂直与水平应力高峰。根据弹性圆孔理论，在不利的情况下（侧向压力系数  $\lambda = 1$ ），在巷道空间周边的底板（及在顶板）所作用的切向应力  $\sigma_t$ （ $\leq$  水平应力  $\sigma_H$ ），相当于未开采时岩石压力的两倍。在以后的计算中将使用此值。当巷道周边处切向作用应力比岩石的强度小时，形成了巷道空间周边的弹性应变变形。

G. 爱维林对一个均质体中圆形巷道进行了计算，岩石形成的弹性位移很小。U. 劳伯通过对成层材料的模拟试验，模拟一个6米宽（原尺寸）的矩形断面巷道的底板，确定

出底板的垂直方向弹性应变变形为5至10毫米。人们认为，向巷道空间的弹性变形位移是发生在掘进工作头10米以后（约相当于巷道空间直径的两倍）。

### 破坏形式和破坏过程

在目前鲁尔煤田的开采深度，巷道周边的应力，如计算的那样相当于未开采时岩层压力的两倍，其中大部分都大于围岩的强度，从而导致巷道周围附近的岩石破坏。这种破坏使得围岩向巷道空间方向移动。围岩移动的结果，又使巷道周边的应力峰值向岩体内部移动。

从大量的巷道模型试验①中，可以观察到巷道围岩的破坏及其过程。岩体中由于开掘巷道，故可将岩层分为被切割的和未切割的岩层②。对于被切割岩层，它可以向平行于层理的方向延伸。在缓斜岩层中，被切割层的厚度即为巷道开掘的高度，而未切割的岩层（即在平行层理方向不可能延伸的岩层）则是指巷道的顶板和底板。

被切割和未切割的岩层破坏过程如下（见图1）：

a. 首先是开掘巷道的被切割岩层（指巷道两帮——译者注），由于垂直应力而被压裂。它既表现为滑移破坏（由于剪切力），又表现为断裂破坏（由于拉应力），或者是两者的综合（剪切与断裂）。在巷道空间两侧的水平应力接近于零。

b. 而后是巷道的顶板和底板，由于水平应力的作用将向巷道内臌出。其中又首先是巷道的直接底板岩层遭到破坏，然后是更下面的岩层。作用于这些地区的水平应力，此时由

① 巷道模型：埃森采矿研究中心岩石力学与矿井支护研究所的主体模型尺寸为 $2 \times 2 \times 0.4$ （米）。在此模型上，模拟巷道周围岩层的变形与破坏过程。

② 此处被切割岩层是指巷道两侧的岩层，未切割的岩层是指巷道的顶底板岩层——译者注。

于底板的破坏已在相当大程度上卸载了。此时可理解为被切割的岩层厚度增加了巷道底板岩层臌起的厚度。

c. 对巷道底板更深处的岩层，由于水平应力而将继续向巷道空间鼓出，最后达到了底臌的最终破坏深度。由于在平行层理方向进一步卸载，致使被切割岩层的厚度再次增加。在巷道底板发生折皱以后——由于折皱而使水平应力降低，由于垂直应力的作用，使两侧的裂缝继续延深，并一直到发生折皱的水平。也就是说，在那里形成了新的裂缝与楔形破坏区。

d. 在巷道两侧及在巷道底板发生折皱处的裂缝（被切割岩层的整个区域）发生了错动。这种错动挤压着岩层向巷道空间方向运动，因而形成了巷道两侧的位移与底臌明显地增加。这种挤压是由于垂直应力作用的结果。

上面叙述的破坏过程是被简化的，在实际情况下则要复杂些。

这样就很清楚，每一种减少顶板下沉、侧帮位移或底臌的支护措施，都对整个巷道周围发生的破坏有影响。所以其共同点是：当采用一种措施可以使巷道底臌显著地减小，或当巷道侧帮岩体的移动受到阻碍时，则巷道两侧的裂缝与楔形裂隙体同样显著地减少。减少裂隙与楔形破坏区，也即意味着两帮位移及顶板下沉比较小。如欲使底臌量更小些，还必须使用致密的壁后充填。

当采用一很高的支护阻力，能否不仅是减少底板的鼓起，而且完全不让其发生？有否可能因此导致侧帮位移与顶板下沉的加剧？究竟会发生什么情况。现在取一敞开着的没有支护的底板，这样破断了的岩块可以向外移动，犹如一“活门”一样。在经过大量的模型研究后，得到如下结论。

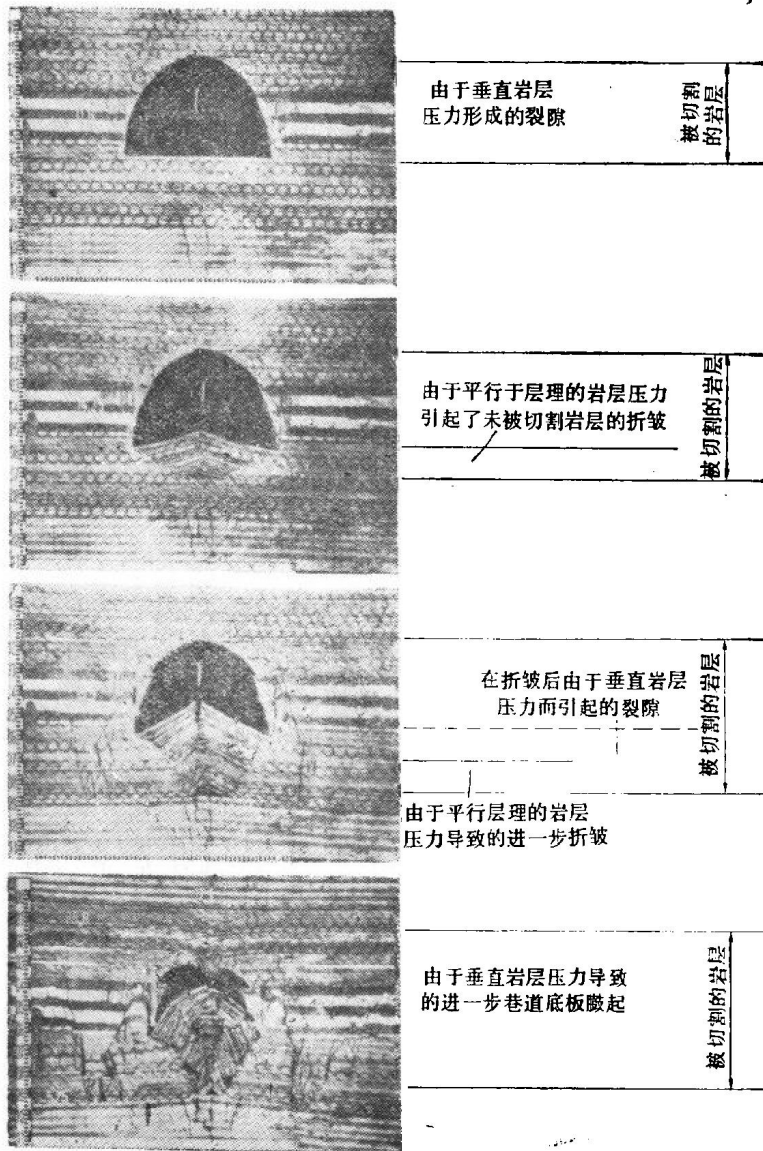


图 1 巷道变形的破坏顺序

在软岩中，当巷道底板阻止了由于应力解除形成的破坏，将导致较大的侧帮位移与顶板下沉。在硬岩层中，当底板被控制不发生剪切破坏，则不会形成剧烈的侧帮移动与顶板下沉。相反通过对底板破坏的控制，可以改善巷道的围岩性能。

## 1.2 底板的破坏深度及破坏型式

底板的深度决定于巷道底板的地质条件以及巷道的宽度。巷道底板破坏深度的界限，可从底板岩层结构突变的地方观察到（如4米基底软岩，在它下面是一层厚层砂岩）。在这种情况下，有可能在这两层结构面之间形成一滑动失稳面。沿这个滑动失稳面，底板岩层向巷道空间方向挤破。

在另外一种情况，当底板没有很多滑动失稳面，甚至没有时，底板的破坏深度由巷道的宽度所决定。N. 布什曼从很多模型试验中得到证实，最大破坏深度是与巷道宽度(B)相适应的。一般来说，最大破坏深度为(0.5~0.75) B。目前煤矿常用的巷道宽度为5.6~6.4米，因而破坏深度平均为3~5米。

E. 撒特尔曾经奠定了研究采矿中底板破坏型式的基础。他认为，在地质与采矿中原则上没有和工程力学强度理论不一样的物理规律。

O. 雅可毕曾经提出了一种分类法，即是按岩石中的裂缝对于层面的倾斜方向来划分的分类法。在此基础上，W. 格兹曾经按如下方式对井下出现的破坏型式进行分类：

- (1) 巷道周围破坏地点；
- (2) 剪切或拉伸破坏；

(3) 原生的以及次生的破坏。

未切割层的破坏型式，将根据W. 格兹和N. 布什曼提出的如下的内容进行描述：

(1) 折皱的翼面形状；

(2) 在折皱层中出现的交截断裂线的数量。

所谓翼面是指一个向巷道空间鼓起的折皱的外部界面。

若翼面形状是向外凸出的，则称之为圆弧型折皱。它要是凹进去或是平直的，则是尖峰式折皱。若一个翼面与底板平行或几乎平行，则称为纯角式折皱。若仅是剪切破坏，则是错动式折皱。此外，还有很多混合型式。

在断面图上，断裂线是破坏面的痕迹。在此断裂线上，每一单独层都分割开了，而且方向也改变了。在各种倾角的岩层中，都可能出现折皱。若对称面不是取水平或垂直方向，而是取平行层理或垂直层理时，在各种不同的倾角情况下，则各分层的折皱都是一致的。

下述的折皱及错动是在井下与模型试验中经常观察到的：

(1) 很多断裂线的圆弧形折皱型(超过四个断裂线)；

(2) 三个断裂线的尖峰式折皱型；

(3) 四个断裂线的钝角式折皱型；

(4) 平缓错动型。

图2表示了上述各种破坏型式。由图可见，在井下出现的破坏型式与巷道模型上以及局部模型●中所观察到的破坏型式是相互吻合的。

平缓错动在采矿中是一种最有利的破坏型式，此时层理

① 局部模型：在巷道模型中切出一部分平均大小为 $0.4 \times 0.2 \times 0.2$ (米)的底板作为模型进行试验。

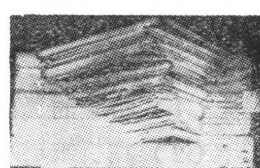
井下



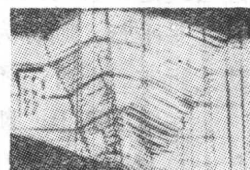
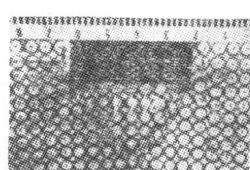
巷道模型、



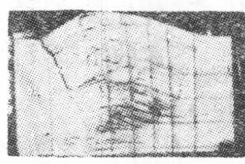
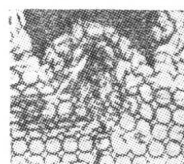
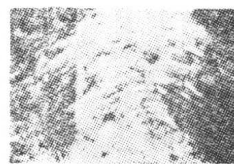
局部模型



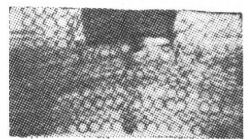
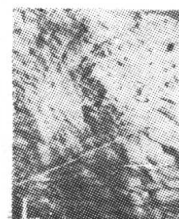
三条破断线的尖峰型折皱



四条破断线的钝角型折皱



多条破断线的圆弧型折皱



平缓的重叠错动

图 2 巷道底板的各种破坏型式

劈开比较小，因而顶底板的含水量也比较小。通常用小于1000千牛/米<sup>2</sup>的支护阻力难于达到对底板破坏面的充分控制。因此，采用经济的支护手段使其达到最小的底板平缓错动，这就是目的。

### 1.3 结合强度和最小支护阻力

下面将叙述在一定的围岩条件下，究竟应具备多大的支护阻力，才能到达底板的平缓错动型或混合型破坏。下面介绍的破坏型式与支护阻力的关系，是由N. 布什曼及W. 格兹进行的，并由U. 齐辛斯基加以完善的以模型试验为主的研究成果。而作者利用了这些成果并继续进行了研究。在这篇博士论文中，作者将详尽地对模型试验的目的、规律及其进行方法作进一步的讨论。

首先介绍一下巷道底板结合强度的概念。巷道底板的结合强度是指大约为4.5米厚、6米宽的巷道底板岩层在平行层理方向的破坏应力。从巷道底板取出一块岩层，并将其按平行层理方向加载，巷道底板岩层将沿垂直层理方向弯曲，意即向巷道方向挤出。此时在加载面上所遭受到的破坏载荷就叫做结合强度。如果把上述的巷道宽度与破坏深度（分别为6米与大约为4.5米）作为一个常数，则底板的结合强度主要由给定的地质条件所决定。即与下述因素有关：

- (1) 每一层岩层的厚度；
- (2) 每层岩层的抗压强度（岩层间的摩擦系数取0.9）。

巷道底板的结合强度特性有何用处呢？

借助于结合强度，人们可以预测：

- (1) 在什么样的岩石压力下，或者在什么样的巷道底

板深度将发生向上断裂；

(2) 要使底板得到平缓错动型破坏需要多大的支护阻力。

1. 图3表示了岩石抗压强度、分层厚度与结合强度大小的关系。当作用在巷道周边上的应力(岩石压力)超过结合强度 $VF_0$ ，则底板就开始破坏。图中标出了残余强度 $RF_0$ 。

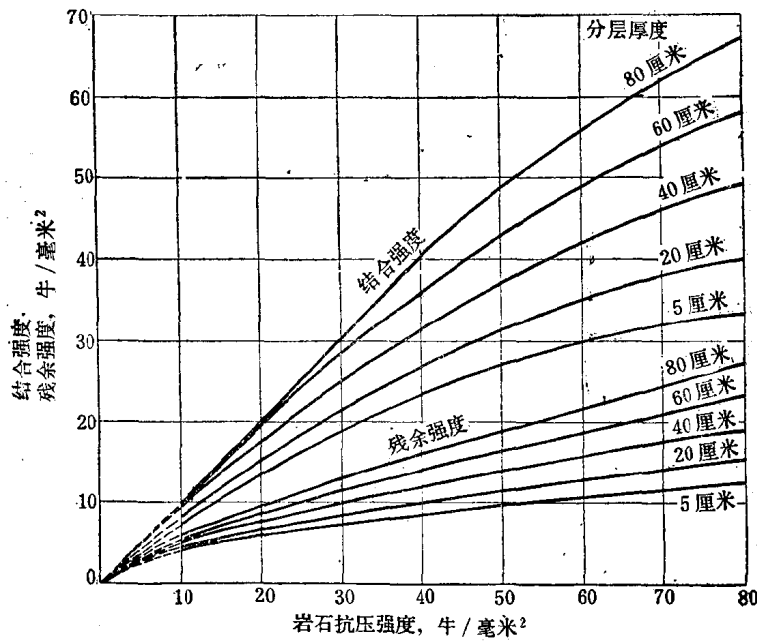


图3 在成层岩体没有滑移层面和没有支护阻力情况下，巷道底板的结合强度 $VF_0$ 和残余强度 $RF_0$ 。

图中标出了在一定岩层厚度下，各种不同岩石抗压强度时残余强度与结合强度的比值 $RF_0/VF_0$ ，因而可以得到不同大小的相对残余强度。人们发现，在抗压强度较低时( $\sigma_D <$